

Stokes 方程非协调混合元的特征值下界

林群^{1*}, 谢和虎¹, 罗福生¹, 李瑜¹, 杨一都²

(1. 中国科学院数学与系统科学研究院, 北京 100190)

(2. 贵州师范大学数学与计算机科学学院, 贵阳 550001)

摘 要 通过利用 Crouzeix-Raviart 元 ($\{1, x, y\}$), 旋转元 ($\{1, x, y, x^2 - y^2\}$), 拓广旋转元 ($\{1, x, y, x^2, y^2\}$) 以及拓广 Crouzeix-Raviart 元 ($\{1, x, y, x^2 + y^2\}$) 这四种混合有限元 (参看正文中示图) 来提供求 Stokes 特征值下界的方法. 并找到恰当的理论框架, 重要的是证明不仅统一, 而且出奇的短, 仅需几行. 最后给出相关的数值结果来验证本文的理论分析.

关键词 Stokes 特征值, 下界逼近, 非协调混合有限元

1 特征值下界研究回顾

1965 年冯康^[1] 在他的有限元开篇中, 引用 Pólya 对 Laplace 特征值求上界时采用了双线性有限元方法. 有了冯康基于变分原理的有限元理论, 所有协调元的特征值都是上界. 见 [2-4] 的专著. 所以问题在于求下界有什么方法. 意外的是, 胡俊 - 黄云清 - 申红梅^[5] 采用了双线性元加质量集中的方法, 把 Pólya 的上界变成了下界. 更一般的问题: 非协调元能否提供特征值的下界呢? [6] 对板问题 (四阶) 有了数值结果, 说明 Morley 元提供下界. 另一方面, 2001 年间 (见 “有限元方法的精度与外推”, 河北大学讲座, 2001), 我们已对椭圆型方程的几个非协调元求出了特征值的渐近展开式, 在得到外推之余, 并得到了下界 (作为副产品). 又见 [7]. 但是, 我们的工作没有做好, 这种展开式的致命弱点在于: 1) 网格基本限于矩形 (甚至均匀); 2) 解要光滑. (但值得注意, 有限元渐进展开式已由 Asadzadeh-Schatz-Wendland^[8,9] 拓广到不等式情形, 可能打开了一道大门).

从 2002 年开始, 刘会坡 - 刘力军^[10], 刘会坡 - 严宁宁^[11], 黄宏财 - 李子才等^[12,13], 对 Wilson 元, Q_1 旋转元以及拓广的 Q_1 旋转元 (后者来于 Tobiska-周爱辉等^[14] 的理论), 对我们的特征值渐近展开式以及外推和下界, 又进行了计算和研究.

进展来自 2008 年李友爱^[15] 的论文 (2006 年的工作), 她抛弃了我们原先的特征值渐近展开式, 采用了 Armentano-Durán^[16] 的方法, 第一次对拓广的 Q_1 旋转元, 在非均匀网格下得到了光滑和奇异解以及的下界结果. 同时, 杨一都小组和张智民^[17] 已经有了系统的工作, 这就打开了求下界的大门. 最近, 杨一都小组^[18] 对板问题的 Morley 元又做了同样的工作, 值

收稿日期:

* 通讯作者

得注意, 后者适用于一般三角形网格, 这突破了我们原有的渐近展开式只限于矩形网格的限制.

当前最重要的工作来自于胡俊 - 黄云清等^[19], 他们对特征值的下界给出一套系统的方法和理论, 包括拓广的旋转元, 拓广的 Crouzeix-Raviart 元, Wilson 元, Adini 元, Morley-Wang-Xu 元等的下界逼近结果, 使得对标准的椭圆方程, 接近画下了句号.

在我们最近的讨论班上, 对 Stokes 方程混合元采用前面的思想得到相应的展开式, 并用之分析拓广的旋转元以及拓广的 Crouzeix-Raviart 元, 同样得到了特征值下界. 另外我们同时还分析了 Crouzeix-Raviart 元和 Q_1 旋转元的下界逼近情况.

所以本文的目的是通过利用如下四种混合有限元:

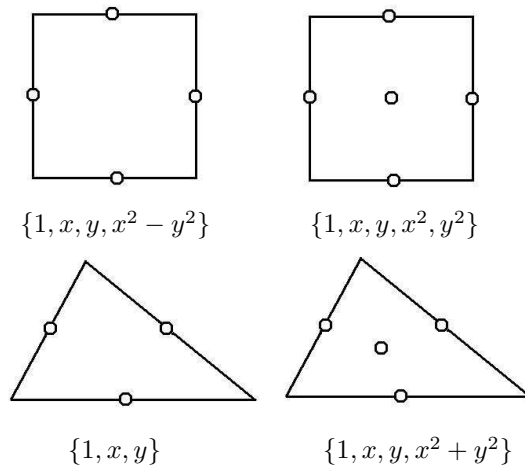


图 1

提供求 Stokes 特征值下界的方法.

这里我们需要求解的 Stokes 特征值问题如下^[20,21]

求 (\mathbf{u}, p, λ) 使得

$$\begin{cases} -\Delta \mathbf{u} + \nabla p = \lambda \mathbf{u} & \text{在 } \Omega \text{ 中,} \\ \nabla \cdot \mathbf{u} = 0 & \text{在 } \Omega \text{ 中,} \\ \mathbf{u} = 0 & \text{在 } \partial\Omega \text{ 上,} \\ \int_{\Omega} \mathbf{u}^2 d\Omega = 1, \end{cases} \quad (1)$$

其中 $\Omega \subset \mathbb{R}^2$ 是一个具有 Lipschitz 连续边界 $\partial\Omega$ 的有界区域, Δ , ∇ 和 $\nabla \cdot$ 分别表示 Laplacian, 梯度和散度算子. 对于 Stokes 特征值问题, Babuška-Osborn^[22,23], Mercier-Osborn 等^[24] 基于紧算子的谱理论^[25] 给出了相应的混合有限元逼近的理论分析. 在^[26,27] 给出了相应的后验误差估计子情况, ^[28,29] 给出相应的外推分析.

与问题 (1) 相应的弱形式为

求 $(\mathbf{u}, p, \lambda) \in \mathbf{V} \times W \times \mathcal{R}$ 使得 $s(\mathbf{u}, \mathbf{u}) = 1$, 并且

$$\begin{cases} a(\mathbf{u}, \mathbf{v}) + b(\mathbf{v}, p) = \lambda s(\mathbf{u}, \mathbf{v}) & \forall \mathbf{v} \in \mathbf{V}, \\ b(\mathbf{u}, q) = 0 & \forall q \in W, \end{cases} \quad (2)$$

其中 $\mathbf{V} = (H_0^1(\Omega))^2$, $W = L_0^2(\Omega)$ 和

$$\begin{aligned} a(\mathbf{u}, \mathbf{v}) &= \int_{\Omega} \nabla \mathbf{u} \nabla \mathbf{v} d\Omega, \\ b(\mathbf{v}, p) &= - \int_{\Omega} \nabla \cdot \mathbf{v} p d\Omega, \\ s(\mathbf{u}, \mathbf{v}) &= \int_{\Omega} \mathbf{u} \mathbf{v} d\Omega. \end{aligned}$$

参看 [30–34]. 由 [22] 中的结论, 我们可以知道 Stokes 特征值问题 (2) 有特征值系列 $\{\lambda_j\}$

$$0 < \lambda_1 \leq \lambda_2 \leq \cdots \leq \lambda_k \leq \cdots, \quad \lim_{k \rightarrow \infty} \lambda_k = \infty,$$

和相应的特征函数系列

$$(\mathbf{u}_1, p_1), (\mathbf{u}_2, p_2), \cdots, (\mathbf{u}_k, p_k), \cdots,$$

其中 $s(\mathbf{u}_i, \mathbf{u}_j) = \delta_{ij}$. 为了简单起见, 这里只讨论单特征值的情况.

对特征值问题 (1), 如下的 Rayleigh 商公式成立

$$\lambda = \frac{a(\mathbf{u}, \mathbf{u})}{s(\mathbf{u}, \mathbf{u})}. \quad (3)$$

下面, 我们定义离散的有限元空间来求解问题 (2). 令 \mathcal{T}_h 表示区间 Ω 上一个尺度为 h 的拟一致的有限元剖分 (三角形或者矩形). 为了定义有限元空间和相应的有限元插值, 我们介绍一些与剖分相关的符号. 令 \mathcal{E}_h 表示剖分 \mathcal{T}_h 上所有边的集合. 在剖分 \mathcal{T}_h 上我们定义相应的非协调有限元空间 $\mathbf{V}_h \not\subset \mathbf{V}$ [32, 35]. 本文中的非协调元表示空间不包含在 $(H^1(\Omega))^2$ 中.

我们定义特征对 (\mathbf{u}, p, λ) 有限元逼近 $(\mathbf{u}_h, p_h, \lambda_h) \in \mathbf{V}_h \times W_h \times \mathcal{R}$ 为: $s(\mathbf{u}_h, \mathbf{u}_h) = 1$ 并且

$$\begin{cases} a_h(\mathbf{u}_h, \mathbf{v}_h) + b_h(\mathbf{v}_h, p_h) = \lambda_h s(\mathbf{u}_h, \mathbf{v}_h) & \forall \mathbf{v}_h \in \mathbf{V}_h, \\ b_h(\mathbf{u}_h, q_h) = 0 & \forall q_h \in W_h, \end{cases} \quad (4)$$

其中所用到的双线性元的定义为

$$\begin{aligned} a_h(\mathbf{u}_h, \mathbf{v}_h) &= \sum_{K \in \mathcal{T}_h} \int_K \nabla \mathbf{u}_h \nabla \mathbf{v}_h dx dy, \\ b_h(\mathbf{u}_h, q_h) &= \sum_{K \in \mathcal{T}_h} \int_K \nabla \mathbf{u}_h q_h dx dy. \end{aligned}$$

由于这个双线性形式是在 \mathbf{V}_h 一致椭圆的, 据此, 我们可以定义在空间 $\mathbf{V} + \mathbf{V}_h$ 上的范数为如下的形式

$$\|\mathbf{v}_h\|_{1,h}^2 = a_h(\mathbf{v}_h, \mathbf{v}_h).$$

由 (4), 我们同样知道 λ_h 有如下的 Rayleigh 商的表达式

$$\lambda_h = \frac{a_h(\mathbf{u}_h, \mathbf{u}_h)}{s(\mathbf{u}_h, \mathbf{u}_h)}. \quad (5)$$

由 [22] 知道离散 Stokes 特征值问题 (4) 有特征值序列

$$0 < (\lambda_1)_h \leq (\lambda_2)_h \leq \cdots \leq (\lambda_k)_h \leq \cdots \leq (\lambda_N)_h,$$

和相应的特征函数序列

$$((\mathbf{u}_1)_h, (p_1)_h), ((\mathbf{u}_2)_h, (p_2)_h), \cdots, ((\mathbf{u}_k)_h, (p_k)_h), \cdots, ((\mathbf{u}_N)_h, (p_N)_h),$$

其中 $s((\mathbf{u}_i)_h, (\mathbf{u}_j)_h) = \delta_{ij}$, $1 \leq i, j \leq N$.

离散问题 (2) 的适定性可以由空间 \mathbf{V}_h 和 W_h 满足相应 Babuška-Brezzi 条件来保证 ([32] 并且 [35])

$$\inf_{0 \neq q_h \in W_h} \sup_{0 \neq \mathbf{v}_h \in \mathbf{V}_h} \frac{b_h(\mathbf{v}_h, q_h)}{\|\mathbf{v}_h\|_{1,h} \|q_h\|_0} \geq C > 0. \quad (6)$$

我们知道 Stokes 特征值问题有限元逼近的收敛性依赖于精确特征函数的正则性. 这里假设特征函数有如下的正则性 [36–40]

$$\|\mathbf{u}\|_{1+\gamma} + \|p\|_\gamma \leq C, \quad (7)$$

其中 $0 < \gamma \leq 1$ 是一个由求解区域边界 $\partial\Omega$ 最大内角决定的 [36,40].

本文中, 我们只考虑最低阶的非协调元, 它们包括 Crouzeix-Raviart, Q_1 旋转元和拓广的 Q_1 旋转元. 同时还分析一种类似于拓广的 Q_1 旋转元的在三角形上的拓广的 Crouzeix-Raviart 元. 用这些单元来组成速度逼近空间 \mathbf{V}_h , 结合由分片常数构成的压力逼近空间 W_h . 所有这些单元得到的特征值逼近 λ_h 和相应的特征函数逼近 (\mathbf{u}_h, p_h) 有如下的误差估计 [23–24,32,35,41]

$$|\lambda - \lambda_h| \leq Ch^{2\gamma} (\|\mathbf{u}\|_{1+\gamma} + \|p\|_\gamma)^2, \quad (8)$$

$$\|\mathbf{u} - \mathbf{u}_h\|_{1,h} + \|p - p_h\|_0 \leq Ch^\gamma (\|\mathbf{u}\|_{1+\gamma} + \|p\|_\gamma), \quad (9)$$

$$\|\mathbf{u} - \mathbf{u}_h\|_0 \leq Ch^{2\gamma} (\|\mathbf{u}\|_{1+\gamma} + \|p\|_\gamma). \quad (10)$$

下面的展开式引理类似于 Armentano-Durán 在 [16] 中给出的相应于 Laplace 特征值问题的展开式, 同时在文 [17,19, 43–44] 中得到了运用和进一步发展.

引理 1.1 假设 $\lambda, (\mathbf{u}, p) \in \mathbf{V} \times W$ 是问题 (1) 一个特征函数对, $\lambda_h, (\mathbf{u}_h, p_h) \in \mathbf{V}_h \times W_h$ 为离散问题 (4) 相应的函数对. 假设 $W_h \subset W$, 并且空间 \mathbf{V}_h 和 W_h 满足相应的 Babuška-Brezzi 条件 (6). 则我们有如下的展开式

$$\begin{aligned} \lambda - \lambda_h &= \|\mathbf{u} - \mathbf{u}_h\|_{1,h}^2 - \lambda_h \|\mathbf{v}_h - \mathbf{u}_h\|_0^2 + \lambda_h (\|\mathbf{v}_h\|_0^2 - \|\mathbf{u}\|_0^2) \\ &\quad + 2a_h(\mathbf{u} - \mathbf{v}_h, \mathbf{u}_h) - 2b_h(\mathbf{v}_h - \mathbf{u}, p_h), \quad \forall \mathbf{v}_h \in \mathbf{V}_h. \end{aligned} \quad (11)$$

证明 选择单位特征函数 \mathbf{u} 和 \mathbf{u}_h 使得 $s(\mathbf{u}, \mathbf{u}) = 1$ 和 $s(\mathbf{u}_h, \mathbf{u}_h) = 1$, 则我们有

$$\|\mathbf{u}\|_1^2 = \lambda, \quad \|\mathbf{u}_h\|_{1,h}^2 = \lambda_h.$$

然而对于任意 $\mathbf{v}_h \in \mathbf{V}_h$ 有

$$\begin{aligned} \|\mathbf{u} - \mathbf{u}_h\|_{1,h}^2 &= \|\mathbf{u}\|_{1,h}^2 + \|\mathbf{u}_h\|_{1,h}^2 - 2a_h(\mathbf{u}, \mathbf{u}_h) \\ &= \lambda + \lambda_h - 2a_h(\mathbf{u} - \mathbf{v}_h, \mathbf{u}_h) - 2a_h(\mathbf{v}_h, \mathbf{u}_h). \end{aligned} \quad (12)$$

在 (12) 两边同时加上 $-2b_h(\mathbf{v}_h, p_h)$, 我们可以得到

$$\begin{aligned} -2a_h(\mathbf{v}_h, \mathbf{u}_h) - 2b_h(\mathbf{v}_h, p_h) &= -2\lambda_h s(\mathbf{v}_h, \mathbf{u}_h) \\ &= \lambda_h \|\mathbf{v}_h - \mathbf{u}_h\|_0^2 - \lambda_h \|\mathbf{v}_h\|_0^2 - \lambda_h \|\mathbf{u}_h\|_0^2 \\ &= \lambda_h \|\mathbf{v}_h - \mathbf{u}_h\|_0^2 - \lambda_h (\|\mathbf{v}_h\|_0^2 - \|\mathbf{u}\|_0^2) - 2\lambda_h. \end{aligned}$$

结合条件 $b_h(\mathbf{u}, p_h) = 0$ 可以得到对任意 $\mathbf{v}_h \in \mathbf{V}_h$ 有

$$\begin{aligned} \|\mathbf{u} - \mathbf{u}_h\|_{1,h}^2 - 2b_h(\mathbf{v}_h - \mathbf{u}, p_h) \\ = \lambda - \lambda_h - 2a_h(\mathbf{u} - \mathbf{v}_h, \mathbf{u}_h) + \lambda_h \|\mathbf{v}_h - \mathbf{u}_h\|_0^2 - \lambda_h (\|\mathbf{v}_h\|_0^2 - \|\mathbf{u}\|_0^2). \end{aligned}$$

调整等式两边的相应的项即可以得到所需证的展开式 (11).

2 Crouzeix-Raviart 元

Crouzeix-Raviart 是在 [44] 中提出的, 定义如下

$$V_h := \left\{ v \in L^2(\Omega) : v|_K \in \text{span}\{1, x, y\}, \text{ 对任意的 } K \in \mathcal{T}_h, v \text{ 在边上中点处连续,} \right. \\ \left. \text{且 } \int_l v|_K ds = 0 \text{ 若 } K \cap \partial\Omega = l \right\}.$$

有限元空间 W_h 定义如下

$$W_h := \left\{ w \in L^2(\Omega) : w|_K \in \text{span}\{1\}, \text{ 对任意的 } K \in \mathcal{T}_h \right\}. \quad (13)$$

由 [32] 可知上述两个有限元空间满足 Babuška-Brezzi 条件.

本节我们证明 Crouzeix-Raviart 元对于 Stokes 特征值问题的奇异情形给出下界. 定义插值 $\Pi_h : H^1(\Omega) \mapsto V_h$ 为

$$\int_l \Pi_h \mathbf{u} ds = \int_l \mathbf{u} ds, \quad \forall l \in \mathcal{E}_h. \quad (14)$$

引理 2.1 对于 Crouzeix-Raviart 元, 下述误差估计

$$\|\mathbf{u} - \Pi_h \mathbf{u}\|_0 + h \|\mathbf{u} - \Pi_h \mathbf{u}\|_{1,h} \leq Ch^{1+\gamma} \|\mathbf{u}\|_{1+\gamma}, \quad (15)$$

对任意 $\mathbf{u} \in (H^{1+\gamma}(\Omega))^2$ 成立.

由引理 1.1, 对于 Crouzeix-Raviart 元, 当解奇异时, 我们有

定理 2.2 令 λ_j 和 $\lambda_{j,h}$ 是原问题以及用 Crouzeix-Raviart 元求解的有限元问题的第 j 个特征值, 令 $\mathbf{u}_j \in (H^{1+\gamma}(\Omega))^2$ 满足 $0 < \gamma < 1$ 及 $\|\mathbf{u}_j - \mathbf{u}_{j,h}\|_{1,h}^2 \geq Ch^{1+\gamma-\delta}$, $\delta > 0$ 可以任意小. 则当 h 充分小时, 我们有

$$\lambda_{j,h} \leq \lambda_j. \quad (16)$$

证明 令 $\mathbf{v}_h = \Pi_h \mathbf{u}$, 我们对展开式 (11) 的五项做逐项估计.

首先由误差估计 (8)-(10), 显然 $\lambda_h \|\Pi_h \mathbf{u} - \mathbf{u}\|_0^2$ 较之于 $\|\mathbf{u} - \mathbf{u}_h\|_{1,h}^2$ 是高阶项. 对于 $\lambda_h (\|\Pi_h \mathbf{u}\|_0^2 - \|\mathbf{u}_h\|_0^2)$, 我们有如下的估计

$$\lambda_h \left| (\|\Pi_h \mathbf{u}\|_0^2 - \|\mathbf{u}_h\|_0^2) \right| = \lambda_h \left| \int_{\Omega} (\Pi_h \mathbf{u} - \mathbf{u})(\Pi_h \mathbf{u} + \mathbf{u}) dx dy \right| \\ \leq C \lambda h^{1+\gamma} \|\mathbf{u}\|_{1+\gamma}. \quad (17)$$

由 Crouzeix-Raviart 元插值 Π_h 的定义, 可得

$$a_h(\mathbf{u} - \Pi_h \mathbf{u}, \mathbf{u}_h) = 0, \quad \text{及 } b_h(\mathbf{u} - \Pi_h \mathbf{u}, p_h) = 0. \quad (18)$$

从上述分析 (17)-(18) 以及 $2\gamma < 1 + \gamma$ 和定理条件, 当奇异情形时, 即 $\gamma < 1$ 我们有

$$\lambda_j - \lambda_{j,h} = \|\mathbf{u} - \mathbf{u}_h\|_{1,h}^2 + \mathcal{O}(h^{1+\gamma}) \\ \geq Ch^{1+\gamma-\delta} + \mathcal{O}(h^{1+\gamma}). \quad (19)$$

从 (19) 可知, 当 h 充分小时, 我们有 $\lambda_j - \lambda_{j,h} \geq 0$, 证毕.

3 非协调的 Q_1 旋转元

这一节中, 我们将讨论 Q_1^{rot} 元的特征值的下界性. 假设 \mathcal{T}_h 是方形剖分, 那么 Q_1^{rot} 元空间定义为

$$V_h := \left\{ v \in L^2(\Omega) : v|_K \in \text{span}\{1, x, y, x^2 - y^2\}, \int_l v|_{K_1} ds = \int_l v|_{K_2} ds, \right. \\ \left. \text{当 } K_1 \cap K_2 = l \text{ 且 } \int_l v|_K ds = 0 \text{ 若 } K \cap \partial\Omega = l \right\}, \quad (20)$$

其中 $K, K_1, K_2 \in \mathcal{T}_h$ 且 $\mathbf{V}_h = V_h^2$. 有限元空间 W_h 定义为

$$W_h := \left\{ w \in L^2(\Omega) : w|_K \in \text{span}\{1\}, \text{ 对任意的 } K \in \mathcal{T}_h \right\}. \quad (21)$$

由 [32] 知道两个空间满足 Babuška-Brezzi 条件.

这里我们将讨论奇异情形下, Stokes 方程 Q_1^{rot}/P_0 元的特征值下界问题. 首先定义插值算子 $\Pi_h : H^1(\Omega) \mapsto V_h$

$$\int_l \Pi_h \mathbf{u} ds = \int_l \mathbf{u} ds, \quad \forall l \in \mathcal{E}_h. \quad (22)$$

引理 3.1 设 $\mathbf{u} \in (H^{1+\gamma}(\Omega))^2$, 则对于 Q_1^{rot} 元, 下述误差估计式成立

$$\|\mathbf{u} - \Pi_h \mathbf{u}\|_0 + h \|\mathbf{u} - \Pi_h \mathbf{u}\|_{1,h} \leq Ch^{1+\gamma} \|\mathbf{u}\|_{1+\gamma}. \quad (23)$$

对 Q_1^{rot}/P_0 元, 应用引理 1.1, 我们有

定理 3.2 设 λ_j 和 $\lambda_{j,h}$ 分别是第 j 个精确特征值和相应的 Q_1^{rot}/P_0 元的逼近值. 设 $\mathbf{u}_j \in (H^{1+\gamma}(\Omega))^2$, 其中 $0 < \gamma < 1$ 且 $\|\mathbf{u}_j - \mathbf{u}_{j,h}\|_{1,h}^2 \geq Ch^{1+\gamma-\delta}$. 那么, 当 h 充分小时, 有

$$\lambda_{j,h} \leq \lambda_j. \quad (24)$$

证明 设 $\mathbf{v}_h = \Pi_h \mathbf{u}$, 由误差估计 (8)–(10) 和插值误差估计 (23), 得到非协调误差估计

$$\|\mathbf{u}_j - \Pi_h \mathbf{u}_j\|_0 \leq h^{1+\gamma} \|\mathbf{u}_j\|_{1+\gamma},$$

$$\|\mathbf{u}_j - \mathbf{u}_{j,h}\|_{1,h} \leq Ch^\gamma \|\mathbf{u}_j\|_{1+\gamma},$$

$$\|\mathbf{u}_j - \mathbf{u}_{j,h}\|_0 \leq Ch^{2\gamma} \|\mathbf{u}_j\|_{1+\gamma}.$$

类似于 Crouzeix-Raviart 元, 当 $0 < \gamma < 1$ 时, 相对于第一项 $\|\mathbf{u} - \mathbf{u}_h\|_{1,h}^2$, $\lambda_h \|\Pi_h \mathbf{u} - \mathbf{u}_h\|_0^2$ 和 $\lambda_h (\|\Pi_h \mathbf{u}\|_0^2 - \|\mathbf{u}\|_0^2)$ 都是高阶项.

幸运的是, Q_1^{rot} 元的插值 Π_h 有

$$a_h(\mathbf{u} - \Pi_h \mathbf{u}, \mathbf{u}_h) = 0, \quad \text{及 } b_h(\mathbf{u} - \Pi_h \mathbf{u}, p_h) = 0 \quad (25)$$

基于上述分析, 对于奇异情形我们得到了 (24).

4 非协调拓广的 Q_1 旋转元

定义在矩形剖分上非协调的 EQ_1^{rot} 元由 Tobiska-周爱辉等在 [14] 中提出. 因此, 本节我们假设 \mathcal{T}_h 是矩形剖分, EQ_1^{rot} 元定义如下:

$$V_h := \left\{ v \in L^2(\Omega) : v|_K \in \text{span}\{1, x, y, x^2, y^2\}, \int_l v|_{K_1} ds = \int_l v|_{K_2} ds, \right. \\ \left. \text{当 } K_1 \cap K_2 = l, \text{ 且 } \int_l v|_K ds = 0, \text{ 若 } K \cap \partial\Omega = l \right\}, \quad (26)$$

其中 $K, K_1, K_2 \in \mathcal{T}_h$ 且令 $\mathbf{V}_h := V_h^2$. 有限元空间 W_h 定义为

$$W_h := \left\{ w \in L^2(\Omega) : w|_K \in \text{span}\{1\}, \text{ 对任意的 } K \in \mathcal{T}_h \right\}. \quad (27)$$

由 [32] 可知上述两个空间满足 Babuška-Brezzi 条件 (6).

我们将证明对于无论光滑和奇异情形, 即 $0 < \gamma \leq 1$, 下界都得到, 即本节指出混合元 EQ_1^{rot}/P_0 能得到 Stokes 特征值问题的下界. 我们将插值函数 $\Pi_h : H^1(\Omega) \mapsto V_h$ 定义为

$$\int_l \Pi_h u ds = \int_l u ds \quad \forall l \in \mathcal{E}_h \text{ 且 } \int_K \Pi_h u dx = \int_K u dx \quad \forall K \in \mathcal{T}_h. \quad (28)$$

引理 4.1 对于 EQ_1^{rot} 元, 下述误差估计

$$\|\mathbf{u} - \Pi_h \mathbf{u}\|_0 + h \|\mathbf{u} - \Pi_h \mathbf{u}\|_{1,h} \leq Ch^{1+\gamma} \|\mathbf{u}\|_{1+\gamma}, \quad (29)$$

对任意 $\mathbf{u} \in (H^{1+\gamma}(\Omega))^2$ 成立.

由引理 1.1, 对于 EQ_1^{rot}/P_0 , 我们有:

定理 4.2 令 λ_j 和 $\lambda_{j,h}$ 是原问题以及用 EQ_1^{rot}/P_0 求解的有限元问题的第 j 个特征值, 令 $\mathbf{u}_j \in (H^{1+\gamma}(\Omega))^2$ 满足 $0 < \gamma \leq 1$ 及 $\|\mathbf{u}_j - \mathbf{u}_{j,h}\|_{1,h}^2 \geq Ch^{2+\gamma-\delta} + Ch^{4\gamma-\delta}$, 则当 h 充分小, 我们有

$$\lambda_{j,h} \leq \lambda_j. \quad (30)$$

证明 令 $\mathbf{v}_h = \Pi_h \mathbf{u}$, 我们对展开式 (11) 的五项做逐项估计.

对于第 2 项和第 3 项, 我们有

$$\begin{aligned} \|\Pi_h \mathbf{u}_j - \mathbf{u}_{j,h}\|_0^2 &\leq \|\Pi_h \mathbf{u}_j - \mathbf{u}_j\|_0^2 + \|\mathbf{u}_j - \mathbf{u}_{j,h}\|_0^2 \leq Ch^{4\gamma} \|\mathbf{u}_j\|_{1+\gamma}^2, \\ \left| \|\Pi_h \mathbf{u}_j\|_0^2 - \|\mathbf{u}_j\|_0^2 \right| &= \left| \int_{\Omega} (\mathbf{u}_j - \Pi_h \mathbf{u}_j)(\mathbf{u}_j + \Pi_h \mathbf{u}_j) \right| \\ &= \left| \int_{\Omega} (\mathbf{u}_j - \Pi_h \mathbf{u}_j)((\mathbf{u}_j + \Pi_h \mathbf{u}_j) - \Pi_0(\mathbf{u}_j + \Pi_h \mathbf{u}_j)) dx \right| \leq Ch^{2+\gamma} \|\mathbf{u}_j\|_{1+\gamma}, \end{aligned}$$

其中 Π_0 表示分片常数插值算子. 对于第四项, 由 [7] 我们有

$$a_h(\mathbf{u} - \Pi_h \mathbf{u}, \mathbf{v}_h) = 0 \quad \forall \mathbf{v}_h \in \mathbf{V}_h. \quad (31)$$

对最后一项, 由分部积分得

$$b_h(\Pi_h \mathbf{u} - \mathbf{u}, p_h) = \sum_{K \in \mathcal{T}_h} \int_{\partial K} (\Pi_h \mathbf{u} - \mathbf{u}) \cdot \mathbf{n} p_h ds = 0. \quad (32)$$

当 $0 < \gamma \leq 1$ 时, 有 $2\gamma < 4\gamma$ 和 $2\gamma < 2 + \gamma$, 结合定理条件知第一项是主项, 证毕.

5 拓广的 Crouzeix-Raviart 元

本节, 我们讨论对前述结果的拓展. 基于前文分析, 我们发现 EQ_1^{rot} 能给出特征值问题的下界. 那么, 我们能否对于三角形剖分找到类似于 EQ_1^{rot} 之于矩形剖分的有限元空间吗? 首先, 假设

$$W_h = \left\{ p \in L_0^2(\Omega) : p|_K \in \text{span}\{1\}, \quad \forall K \in \mathcal{T}_h \right\}. \quad (33)$$

类似于 EQ_1^{rot} , 基于展开式 (11), 假如我们能构造一个混合元空间 \mathbf{V}_h 满足

$$a_h(\mathbf{u} - \Pi_h \mathbf{u}, \mathbf{v}_h) = 0 \quad \forall \mathbf{v}_h \in \mathbf{V}_h, \quad (34)$$

$$b_h(\mathbf{u} - \Pi_h \mathbf{u}, q_h) = 0 \quad \forall q_h \in W_h, \quad (35)$$

$$\int_K (\mathbf{u} - \Pi_h \mathbf{u}) dK = 0 \quad \forall K \in \mathcal{T}_h, \quad (36)$$

那么, 通过这种混合元 $\mathbf{V}_h \times W_h$ 对于奇异和光滑的情形, 即 $0 < \gamma \leq 1$, 得到特征值的下界.

为了满足 (34)-(36), 我们需要让 \mathbf{V}_h 在任意 $K \in \mathcal{T}_h$ 有如下性质

$$\int_{\partial K} (\mathbf{u} - \Pi_h \mathbf{u}) \frac{\partial \mathbf{v}_h}{\partial \mathbf{n}} ds = 0, \quad (37)$$

$$\int_K (\mathbf{u} - \Pi_h \mathbf{u}) \Delta \mathbf{v}_h dK = 0, \quad (38)$$

$$\int_{\partial K} \mathbf{n} \cdot (\mathbf{u} - \Pi_h \mathbf{u}) ds = 0. \quad (39)$$

对于 $K \in \mathcal{T}_h$ 加上一个高阶的多项式, 条件 (38) 及条件 (39) 是容易满足的. 为了满足条件 (37), 则对任给 $\mathbf{v}_h \in \mathbf{V}_h$ 应满足

$$\frac{\partial \mathbf{v}_h}{\partial \mathbf{n}} \Big|_l \in \text{span}\{1\}, \quad \forall l \in \mathcal{E}_h. \quad (40)$$

假设空间为

$$V_h := \left\{ v \in L^2(\Omega) : v|_K \in \text{span}\{1, x, y, c_1 x^2 + c_2 xy + c_3 y^2\}, \int_l v|_{K_1} ds = \int_l v|_{K_2} ds, \right. \\ \left. \text{if } K_1 \cap K_2 = l, \text{ 且 } \int_l v|_K ds = 0, \text{ if } K \cap \partial\Omega = l \right\}. \quad (41)$$

考虑 c_1, c_2 和 c_3 取何值时满足条件 (40). 假设用 $y = kx + b$ ($k > 0$) 表示任意一边 $l \in \mathcal{E}_h$, 其上的法向量为 $\frac{1}{\sqrt{k^2+1}}(k, -1)$. 则有

$$\frac{\partial(c_1 x^2 + c_2 xy + c_3 y^2)}{\partial \mathbf{n}} \Big|_l = \frac{1}{\sqrt{k^2+1}} \left((k(c_1 - c_3) + (k^2 - 1)c_2)x + kc_2 b - c_3 b \right).$$

因此, 为了使 $\frac{\partial(c_1 x^2 + c_2 xy + c_3 y^2)}{\partial \mathbf{n}} \Big|_l$ 对任给的 x 和 k 在相应边 $l \in \mathcal{E}_h$ 上都是常数, 我们只需让 $c_1 = c_3, c_2 = 0$. 因此加入的高阶多项式应为 $x^2 + y^2$.

所以, 我们可以定义如下的有限元空间

$$V_h := \left\{ v \in L^2(\Omega) : v|_K \in \text{span}\{1, x, y, x^2 + y^2\}, \int_l v|_{K_1} ds = \int_l v|_{K_2} ds, \right. \\ \left. \text{当 } K_1 \cap K_2 = l, \text{ 且 } \int_l v|_K ds = 0, \text{ 若 } K \cap \partial\Omega = l \right\}, \quad (42)$$

其中 $K, K_1, K_2 \in \mathcal{T}_h$ 且令 $\mathbf{V}_h := V_h^2, W_h$ 定义见 (33). 易证, 混合元空间 $\mathbf{V}_h \times W_h$ 对 $0 < \gamma \leq 1$ 情形的特征值问题给出下界, 即在三角形网格上有定理 4.2 同样的结论.

6 数值结果

本节, 我们给出一些数值结果证实前文的分析. 这里的数值算例是求解单位正方形和 L 形区域上的 Stokes 问题 (1).

6.1 单位正方形区域

表格 1-4 给出了在单位正方形上的 Stokes 问题前 6 个特征值的逼近情况, 从中我们可以发现 Crouzeix-Raviart 元, EQ_1^{rot} 和拓广的 Crouzeix-Raviart 元均可以得到特征值逼近的下界. 但是 EQ_1^{rot} 元有时候得到的是特征值的上界.

6.2 L形区域

表格 5-8 给出了在 L 形区域上的 Stokes 问题前 6 个特征值的逼近情况, 从中我们可以发现 Crouzeix-Raviart 元, EQ_1^{rot} 和拓广的 Crouzeix-Raviart 元均可以得到特征值逼近的下界. 但是 Q_1 旋转元同样有时候得到的是特征值的上界.

表 1 Crouzeix-Raviart 元在单位正方形上

Mesh	0	1	2	3	Trend
λ_1	51.47517	52.11400	52.28577	52.32986	↗
λ_2	89.39327	91.41967	91.94577	92.07952	↗
λ_3	89.42537	91.42597	91.94724	92.07988	↗
λ_4	122.60546	126.74133	127.83564	128.11551	↗
λ_5	146.96115	152.31526	153.66996	154.01129	↗
λ_6	162.30562	165.80950	166.71938	166.95127	↗

表 2 Q_1^{rot}/P_0 元在单位正方形上

Mesh	8×8	16×16	32×32	64×64	Trend
λ_1	52.25687	52.31237	52.33577	52.34240	↗
λ_2	92.65807	92.27314	92.16176	92.13373	↘
λ_3	92.65808	92.27314	92.16176	92.13373	↘
λ_4	124.90202	127.37868	127.99982	128.15696	↗
λ_5	159.05873	155.56771	154.49594	154.21864	↘
λ_6	178.12732	169.87177	167.73889	167.20644	↘

表 3 EQ_1^{rot}/P_0 元在单位正方形上

Mesh	8×8	16×16	32×32	64×64	Trend
λ_1	50.62545	51.87664	52.22493	52.31457	↗
λ_2	87.83065	90.93951	91.81949	92.04759	↗
λ_3	87.83065	90.93951	91.81949	92.04759	↗
λ_4	116.57122	124.87392	127.34208	127.99045	↗
λ_5	146.04942	151.87176	153.54032	153.97769	↗
λ_6	162.33909	165.49138	166.61400	166.92329	↗

表 4 拓广的 Crouzeix-Raviart 元在单位正方形上

Mesh	0	1	2	3	Trend
λ_1	51.17659	52.03636	52.26616	52.32494	↗
λ_2	88.47842	91.17294	91.88279	92.06369	↗
λ_3	88.51147	91.18182	91.88527	92.06434	↗
λ_4	120.91279	126.27147	127.71495	128.08514	↗
λ_5	144.59254	151.64896	153.49840	153.96809	↗
λ_6	159.25087	164.97426	166.50577	166.89756	↗

表 5 Crouzeix-Raviart 元在 L 形区域上

Mesh	0	1	2	3	4	Trend
λ_1	22.49469	28.15681	30.54221	31.48226	31.85582	↗
λ_2	22.92567	32.37163	35.68702	36.64265	36.91235	↗
λ_3	28.48313	38.26178	40.98085	41.68270	41.86679	↗
λ_4	33.75109	44.18539	47.65948	48.63209	48.89221	↗
λ_5	39.47117	48.95585	53.34894	54.77844	55.20802	↗
λ_6	40.30679	59.71968	66.39481	68.43863	69.12011	↗

表 6 Q_1^{rot}/P_0 元在 L 形区域上

Mesh	4×4	8×8	16×16	32×32	Trend
λ_1	30.30390	31.26843	31.71998	31.93768	↗
λ_2	36.79391	36.93405	36.97253	36.99869	↗
λ_3	41.93838	41.98381	41.94029	41.93306	↘
λ_4	48.09249	48.74571	48.91546	48.96462	↗
λ_5	53.55023	54.65239	55.13238	55.30553	↗
λ_6	70.94088	69.58998	69.31962	69.36626	↗

表 7 EQ_1^{rot}/P_0 元在 L 形区域上

Mesh	4×4	8×8	16×16	32×32	Trend
λ_1	28.31965	30.66373	31.55838	31.89631	↗
λ_2	33.96093	36.09799	36.75346	36.94321	↗
λ_3	38.38707	40.91276	41.65899	41.86183	↗
λ_4	43.60320	47.31776	48.53394	48.86757	↗
λ_5	48.17742	52.87433	54.64897	55.18179	↗
λ_6	62.11476	66.77009	68.55979	69.17190	↗

表 8 推广的 Crouzeix-Raviart 元在 L 形区域上

Mesh	0	1	2	3	4	趋势
λ_1	21.40172	27.66835	30.39310	31.44233	31.84559	↗
λ_2	21.88166	31.67967	35.45192	36.57879	36.89602	↗
λ_3	26.72452	37.21625	40.64764	41.59411	41.84428	↗
λ_4	31.57611	42.89652	47.25776	48.52563	48.86519	↗
λ_5	36.86130	47.49463	52.88224	54.65226	55.17572	↗
λ_6	37.17575	57.79266	65.73588	68.25912	69.07409	↗

参考文献

- [1] 冯康, 基于变分原理的差分格式. 应用数学与计算数学, 2(4)(1965), 238-262.
- [2] M. Křížek and P. Neittaanmaki, Finite Element Approximation of Variational Problems and Applications, Pitman Monographs and Surveys in Pure and Appl Math, Vol.50, 1990.
- [3] V. Shaidurov, Multigrid Methods for Finite Elements, Math and its Appl., Vol. 318, Kluwer Academic Pulisher, Dordrecht, 1995.
- [4] G. Strang and G.J. Fix, An Analysis of the Finite Element Method, Prentice-Hall, NJ:Englewood Cliffs, 1973.
- [5] J. Hu, Y. Q. Huang and H. M. Shen, The lower approximation of eigenvalue by lumped mass finite element methods, J. Comput. Math. 22(2004), 545-556.
- [6] R.Rannacher, Nonconforming finite element methods for eigenvalue problems in linear plate theory, Numer Math 33,23-42, 1979.
- [7] Q. Lin and J. Lin, Finite Element Methods: Accuracy and Improvement, Science press: Beijing, 2006.
- [8] M. Asadzadeh, A. H. Schatz and W. Wendland, A new approach to Richardson extrapolation in the finite element method for second order elliptic problems, Math. Comp. 78 (2009) 1951-1973.
- [9] M. Asadzadeh, A. H. Schatz and W. Wendland, Asymptotic error expansions for the finite element method for second order elliptic problems in R_N , $N \geq 2$, I: Local interior expansions, To appear in SIAM Journal on Numerical Analysis 2010.
- [10] 刘会坡, 刘力军, 特征值问题 Q_1^{rot} 元的展开及外推, 河北大学学报自然科学版, 1(2003), 11-15.
- [11] H. P. Liu and N. N. Yan, Four finite element solutions and comparisons of problem for the Poisson equation eigenvalue, J. Numer. Method. & Comput. Appl. 2(2005), 81-91.
- [12] Q. Lin, H. T. Huang and Z. C. Li, New expansions of numerical eigenvalues for $-\Delta u = \lambda \rho u$ by nonconforming elements, Math. Comput., 77(2008), 2061-2084.
- [13] Q. Lin, H. T. Huang and Z. C. Li, New expansions of numerical eigenvalues by Wilson's elements, J. Comput. Appl. Math., 225(2009), 213-226.
- [14] Q. Lin, L. Tobiska and A. Zhou, Superconvergence and extrapolation of nonconforming low order finite elements applied to the Poisson equation, IMA. J. Numer. Anal., 25(2005), 160-181.
- [15] Y. A. Li, Lower approximation of eigenvalue by the nonconforming finite element method, Math Numer Sin 30(2)(2008),195-200.
- [16] M. G. Armentano and R.G.Durán, Asymptotic lower bounds for eigenvalues by nonconforming finite element methods, Electron. Trans. Numer. Anal., 17(2004), 92-101.
- [17] Y. D. Yang, Z. M. Zhang and F. B. Lin, Eigenvalue approximation from below using nonforming finite elements, Sci. China Math., 53(1)(2010), 137-150.
- [18] Y. D. Yang, Q. Lin, H. Bi and Q. Li, Eigenvalue approximations from below using Morley elements, submitted, 2010.
- [19] J. Hu, Y. Q. Huang and Q. Lin, The lower bounds for eigenvalues of elliptic operators—By nonconforming finite element methods, submitted.
- [20] P. F. Batcho and G.E.M. Karniadakis, Generalized Stokes eigenfunctions: a new trial basis for the solution of the incompressible Navier-Stokes equations, J. Comput. Phys., 115(1994), 121-1146.
- [21] E. Leriche and G. Labrosse, Stokes eigenmodes in square domain and the stream function-vorticity correlation, J. Comput. Phys., 200(2004), 489-511.

- [22] I. Babuška and J. E. Osborn, Eigenvalue problems, in P.G Ciarlet, J.L. Lions(Eds), Handbook of Numerical Analysis, Vol. II, Finite Element Methods (Part I), North-Holland, Amsterdam, 1991, 641-787.
- [23] I. Babuška and J. E. Osborn, Finite element-Galerkin approximation of the eigenvalues and eigenvectors of selfadjoint problems, *Math. Comp.* 52(1989), 275-297.
- [24] B. Mercier, J. Osborn, J. Rappaz and P.A. Raviart, Eigenvalue approximation by mixed and hybrid methods, *Math. Comput.*, 36 (154) (1981), 427-453.
- [25] F. Chatelin, Spectral Approximation of Linear Operators, Academic Press Inc, New York, 1983.
- [26] V. Heuveline and R. Rannacher, Adaptive FEM for eigenvalue problems with application in hydrodynamic stability analysis, *J. Numer. Math.*, Vol. 0, No. 0 (2006), 1-32.
- [27] C. Lovadina, M. Lyly and R. Stenberg, A posteriori estimates for the Stokes eigenvalue problem, *Numer. Methods Partial Differential Equations*, 25(1)(2008), 244 - 257.
- [28] W. Chen and Q. Lin, Asymptotic expansion and extrapolation for the Eigenvalue approximation of the biharmonic eigenvalue problem by Ciarlet-Raviart scheme, *Adv. Comput. Math.*, 27(2007),95-106.
- [29] X. Yin, H. Xie, S. Jiang and S. Gao, Asymptotic expansions and extrapolations of eigenvalues for the stokes problem by mixed finite element methods, *J. Comput. Appl. Math.*, 215(2008), 127-141.
- [30] D. N. Arnold and F. Brezzi, Mixed and nonconforming finite element methods: Implementation, postprocessing and error estimates, *M²AN*, 19(1985), 7-32.
- [31] S. Brenner and L. Scott, *The Mathematical Theory of Finite Element Methods*, New York: Springer-Verlag, 1994.
- [32] F. Brezzi and M. Fortin, *Mixed and Hybrid Finite Element Methods*, New York: Springer-Verlag, 1991.
- [33] Z. Chen, *Finite Element Methods and Their Applications*, Springer, New York, 2005.
- [34] P. G. Ciarlet, *The finite Element Method for Elliptic Problem*, North-Holland Amsterdam, 1978.
- [35] V. Girault and P. Raviart, *Finite Element Methods for Navier-Stokes Equations, Theory and Algorithms*, Springer-Verlag, Berlin, 1986.
- [36] C. Bacuta and J. H. Bramble, Regularity estimates for the solutions of the equations of linear elasticity in convex plane polygonal domain, Special issue dedicated to Lawrence E. Payne, *Z. Angew. Math. Phys.*, 54 (2003), 874-878.
- [37] C. Bacuta, J. H. Bramble and J. E. Pasciak, Shift theorems for the biharmonic Dirichlet problem, *Recent Progress in Computational and Appl. PDEs*, proceedings of the International Symposium on Computational and Applied PDEs, Kluwer Academic/Plenum Publishers, 2001.
- [38] H. Blum and R. Rannacher, On the boundary value problem of the biharmonic operator on domains with angular corners, *Math. Meth. in the Appl. Sci.*, 2 (1980), 556-581.
- [39] E. B. Fabes, C. E. Kenig and G. C. Verchota, The Dirichlet problem for the Stokes system on Lipschitz domains, *Duke Math. J.*, 57 (1998), 769-793.
- [40] P. Grisvard, *Singularities in Boundary Problems*, MASSON and Springer-Verlag, 1985.
- [41] J. Osborn, Approximation of the eigenvalue of a nonselfadjoint operator arising in the study of the stability of stationary solutions of the Navier-Stokes equations, *SIAM J. Numer. Anal.*, 13 (1976), 185-197.
- [42] Y. D. Yang, Q. Li and S. R. Li, Nonconforming finite element approximations of the Steklov eigenvalue problem, *Appl. Numer. Math.*, 59(2009), 2388-2401.
- [43] Y. D. Yang, F. B. Lin and Z. M. Zhang, N-simplex Crouzeix-Raviart element for the second-order elliptic/eigenvalue problems, *Int. J. Numer. Anal. model.*, 6(4)(2009), 615-626.

- [44] M. Crouzeix and P. A. Raviart, Conforming and nonconforming finite element for solving the stationary Stokes equations, *RAIRO Anal. Numer.*, 3(1973), 33-75.

Stokes Eigenvalue Approximations from Below With Nonconforming Mixed Finite Element Methods

LIN Qun¹, XIE Hehu¹, LUO Fusheng¹, LI Yu¹, YANG Yidu²

(1. AMSS, Chinese Academy of Sciences, Beijing 100190, China)

(2. SMCS, Guizhou Normal University, Guiyang 550001, China)

Abstract We provide the lower bounds of Stokes eigenvalue by using 4 nonconforming mixed finite elements: Crouzeix-Raviart ($\{1, x, y\}$), $Q_1^{\text{rot}}(\{1, x, y, x^2 - y^2\})$, extension $Q_1^{\text{rot}}(\{1, x, y, x^2, y^2\})$ and extension Crouzeix-Raviart ($\{1, x, y, x^2 + y^2\}$). We find a suitable theoretical framework which makes the proof unified and surprisingly short, with a few steps only! Some numerical results are used to confirm the theoretical convergence results.

Keywords Stokes eigenvalue problem, approximation from below, nonconforming mixed finite element.